

1 緒論

近年、海浜地形変化予測を精度よく行うために、碎波後の波の変形に関する研究は国でも高い精度が要求されるようになつてている。これまでに、碎波後の波の変形に関する研究は数多く行われてゐるが、その大部分は波の再成現象が考慮されておらず、任意の海底地形に適用できるモデルはきわめて数少ない。本報では、現在までに提案されている碎波後の波の計算方法を系統的に分類し、その中でエネルギー方程式法で用いられているエネルギー逸散率の比較検討を行つてある。

表1 碎波後の波の変形に関する研究の分類

2 研究の研究とその分類

碎波後の波の変形に関する研究は、表1に示すように、大きく4種類に分類される。これらは、碎波限界式による方法、線形波動方程式法、非線形浅水波方程式法およびエネルギー方程式法である。エネルギー方程式法は、さらに渦動粘性係数モデル、boreモデル、乱流モデルおよびその他に細分される。これらの分類名称は、モデルの内容を端的に表現するように著者が名付したものである。

碎波限界式による方法は、Boussinesq (1871), Miche (1944)あるいは合田 (1973)等による碎波限界式を用いて碎波後の波高を評価する方法である。渡辺 (1984)による線形波動方程式法は、伊藤・谷本 (1971, 1972)による数値波動解析法にエネルギー逸散項を付加し、かつ波の浅水変形が正確に計算できるように改良したものである。非線形浅水波方程式法は、気体の衝撃波の解析法を非線形浅水波に応用したもので、波先条件として bore condition を用いることにより、波の減衰を評価するものである。

エネルギー方程式法は、波のエネルギー方程式の中に碎波によるエネルギー逸散率を付加して解く方法で、エネルギー逸散率の評価のし方によってさらに細分されている。渦動粘性係数モデルとは、粘性によるエネルギー逸散とのアナロジーにより、渦動粘性係数を用いて逸散を評価する方法である。bore モデルは、碎波と bore との類似性を考えて、碎波によるエネルギー逸散を bore によるエネルギー逸散を算いものとする方法である。また、乱流モデルとは、乱流強度を直接に用いてエネルギー逸散を評価する方法である。この乱流モデルのうちで、泉宮・堀川 (1983) は、Reynolds 力の働く流体中の波のエネルギー逸散率を次のように評価した。

$$\Phi_d = \int_R^3 \tau_{ij} \frac{\partial u_i}{\partial x_j} dz - \int_R^3 \frac{\partial}{\partial z} [\tau_{ij} u_i'] dz \quad (1)$$

ここで、 $i, j = 1 \sim 3$, τ_{ij} は Reynolds 力カテンソル, u_i' は渦動流速成分である。式(1)の関係は、次のようないくつかの物理

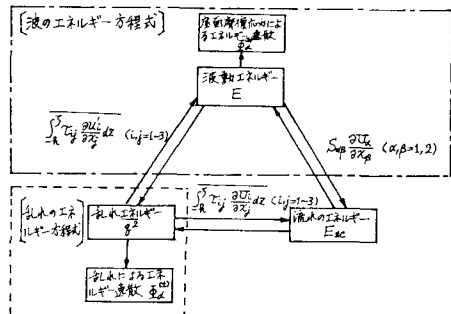
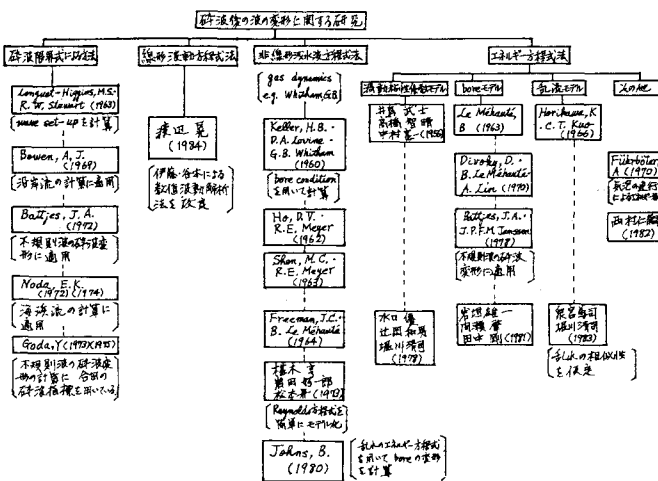


図1 波・流れがよみがえりエネルギーの相互關係

図1 波・流れがよみがえりエネルギーの相互關係

的は意味をもつ。図1に示すように、波動エネルギーは radiation stress S_{xy} と流れの shear $\frac{\partial U_x}{\partial y}$ との積 $S_{xy} \frac{\partial U_x}{\partial y}$ の割合で流れとのエネルギー交換が行われる。また同様に、波動エネルギーと乱流エネルギーとの間ににおいても、 $\frac{S_{xy}}{S_{xy}}$ の割合でエネルギー交換が行われる。したがって、式(1)の右辺第1項は一般に正であるため、波動エネルギーが乱れエネルギーに変換されると解釈することができる。

3 破砕によるエネルギー遮蔽率の比較

表2は、モデル化されたエネルギー遮蔽率を比較したものである。エネルギー遮蔽率の表現は、各モデルによって異なるが、 $Pg^{3/2} \tan^2 \alpha$ で無次元化するとモデル間の類似性・相異点が明確となる。表2によると、無次元エネルギー遮蔽率 $\tilde{\Phi}_d$ は、いずれも波高水深比 H/d の関数となっていることがわかる。しかも、ほとんどのモデルは、 H/d の2乗～3乗に比例していることがわかる。なお、波のエネルギーによりエネルギー遮蔽率が表現されている西村(1982)および泉宮・坂川(1983)のモデルでは、等価エネルギー波高 H^* ($E = \frac{1}{2} Pg H^2$) を用いて表現している。エネルギー遮蔽率に海底勾配の影響が直接的に考慮されているのは、Battjes(1975)および水口ら(1978)によるモデルであり、碎波後の波の再成現象が考慮されているのは、水口ら(1978)および泉宮ら(1983)のモデルのみである。なお、Battjesら(1978)の bore モデルでは、重さ $(d/d_L)^2$ にも比例し、水口ら(1978)のモデルでは $(d/d_L)^2$ にも比例することから、波高水深比 $H/d = 0(1)$ のときエネルギー遮蔽率は d^2 に比例するのではなくて、 d^2 や d に逆比例する傾向にある。

図2は、無次元エネルギー遮蔽率を比較したものである。図に示してあるのは、修正海底勾配が $1/20$ の場合である。この場合には、 H/d の値が 0.6 ～ 1.0 の範囲内では、Battjes(1978)、水口ら(1978)および泉宮ら(1983)のモデルとほぼ同程度の値を示していることがわかる。海底勾配が比較的小さい場合、たとえば $1/50$ 程度では、海底勾配の影響が考慮されていないモデルとどうでないモデルに差が生ずることは明らかであり、後者は何らかの方法によりその影響を取り入れるべきである。

4 結論および今後の課題

エネルギー方程式モデルにおけるエネルギー遮蔽率の比較を行うことにより、それとの関係が明らかとなった。今後の課題として、モデルの検証データを多く蓄積するとともに、碎波位置の決定法やその位置におけるエネルギーの評価、また再成条件等を実験的に明らかにする必要がある。

参考文献 横木亨(1973): 碎波特論、水工研修会講義集、B-2.

Battjes-Janssen(1978): ICCE, pp. 569-587.

水口・辻岡・坂川(1978): 第25回海講, pp. 155-159.

西村(1982): 第29回海講, pp. 333-337.

泉宮・坂川(1983): 第30回海講, pp. 15-19.

表2 モデル化されたエネルギー遮蔽率の比較

研究者 (著者名)	モデルの種類	エネルギー遮蔽率 Φ_d	$\tilde{\Phi}_d = \Phi_d / Pg^{3/2} \tan^2 \alpha$	備考
Battjes (1975)	碎波吸収式による方法 $H = Td$	$\frac{5}{18} Pg^{3/2} \tan^2 \left(\frac{H}{d}\right) d^{3/2}$	$\tilde{\Phi}_d = \frac{5}{18} \left(\frac{H}{d}\right)^2$	T : 波高水深比 Pg : 水の密度 α : 重力加速度 H : 波高 d : 平均水深
Battjes-Janssen (1978)	bore モデル	$\frac{H}{4T} Pg \left(\frac{H}{d}\right) H^2$	$\tilde{\Phi}_d = \frac{\alpha}{4 \sqrt{2\pi}} \frac{1}{3} \left(\frac{H}{d}\right)^{3/2}$ $= \frac{\alpha}{4 \sqrt{2\pi}} \tan^2 \left(\frac{H}{d}\right) \left(\frac{H}{d}\right)^3$	$\alpha = 0(3)$: 重数 T : 波の周期 Pg : 水の密度 $\alpha = \frac{1}{2} \frac{C}{T^2}$
水口・辻岡 坂川(1978)	波動粘性係数モデル	$\frac{1}{2} Pg V_{ce} \left[\frac{1}{2} \left(\frac{H}{d} - C_0 \right)^2 (RH)^2 \right]$ $V_{ce} = \frac{5.2 d_s}{80} \frac{1}{(1-C_0)^2} \frac{\tan \beta^*}{d_s}$	$\tilde{\Phi}_d = \frac{5}{2} \frac{1}{(1-C_0)^2} \left(\frac{d}{d_s} \right)^2 \left(\frac{1}{2} \left(\frac{H}{d} - C_0 \right)^2 \right) \left(\frac{H}{d} \right)^2$ $C_0 = C/T^2$ $\beta^* = \frac{1}{2} \frac{(1+2.232 \ln d_s)^2}{(1+6.667 d_s)}$	$C = 0.25$ $T = \frac{1}{2} \frac{(1+2.232 \ln d_s)^2}{(1+6.667 d_s)}$
西村 (1982)	エネルギー法	$\alpha_1 \exp \left\{ \beta_1 \frac{H}{d} \right\} E C_g / d$	$\tilde{\Phi}_d = \frac{\alpha_1}{8 \tan^2 \beta^*} \exp \left\{ \beta_1 \frac{H}{d} \right\} \left(\frac{H}{d} \right)^2$	$\alpha_1 = 2 \times 10^{-5}$ $\beta_1 = 13.0$ $H^* = \text{等価波高}(= \sqrt{E})$ $E = \frac{1}{2} Pg H^2$
泉宮・坂川 (1983)	乱流モデル	$T_d \left[\frac{G_E}{C_p g d^2} - 0.001 \right]^{1/2} \frac{E^{3/2}}{Pg d^2 (C - 1)}$	$\tilde{\Phi}_d = \frac{T_d}{16 \sqrt{2} \tan^2 \beta^*} \left(\frac{1}{8} \left(\frac{H}{d} \right)^2 - 0.001 \right)^{1/2} \left(\frac{H}{d} \right)^2$ $C: 波速$ $G: 離岸度$ $T_d: 1.80$	

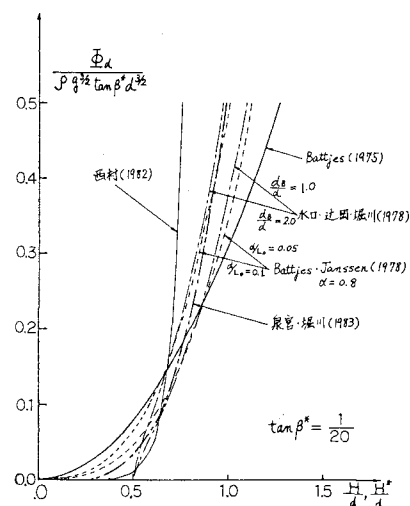


図2 無次元エネルギー遮蔽率の比較